7. Packungsdominierte Phasen

7.1. Packungsprinzip, Frank-Kasper-Phasen

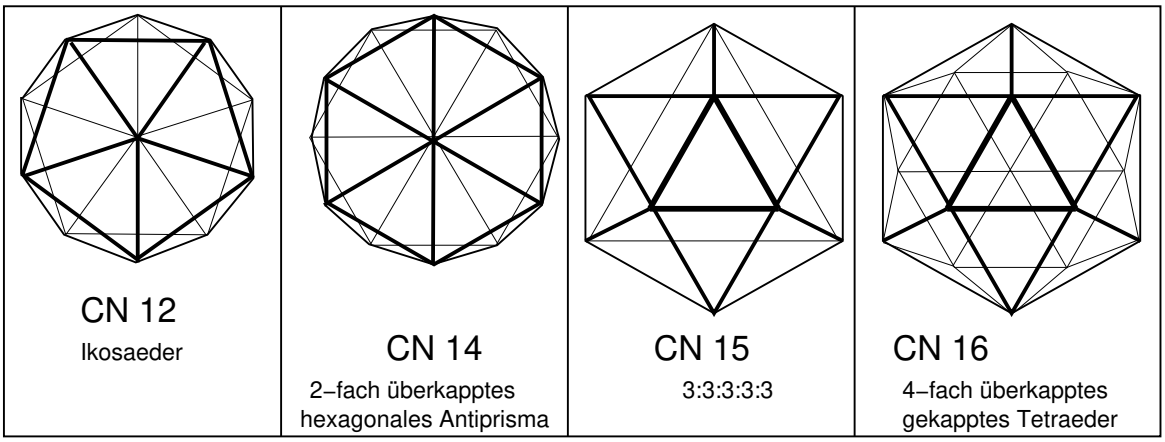

Frank-Kapser-Polyeder

Struktur-typ	Z	Zahl der Atome mit				Zahl bin./ternärer Verbindungen	Beispiele
		CN 12	CN 14	CN 15	CN 16		
Cu_4Cd_3	1124	736	120	144	124	1	
R-Phase	53	27	12	6	8	viele	Mn-Mo-Fe
δ-Phase, P-Phase	56	24	20	8	4	viele	Mn-Mo-Co
σ-Phase	30	10	16	4	-	ca. 100	Kap. 7.5.
μ-Phase	13	7	2	2	2	viele	Fe_7W_6
$MgZn_2$ (C 14)	12	8	-	-	4	ca. 350	Kap. 7.2.
$MgCu_2$ (C 15)	24	16	-	-	8	ca. 500	Kap. 7.2.
$MgNi_2$ (C 36)	24	16	-	-	8	ca. 50	s.u.
$\beta - Mg_2Al_3$	1168	672	-	-	252	1	sog. Samson-
$Mg_{32}(Al,Zn)_{49}$	162	98	12	12	40	1	Phasen

Beispiele für Frank-Kasper-Phasen

7.2. Laves-Phasen

Struktur-typ	Gesamt-zahl	Elementkombination (Beispiel)						
		A1-A1	A1-A2	A1-B1	(A1-B2)	A2-A2	A2-B1	(A2-B2)
$MgCu_2$	ca. 500	KNa_2	$BaPt_2$,$NaAg_2$	$CaAl_2$	KBi_2	YFe_2,TaV_2	YAl_2	$BiAu_2$
$MgZn_2$	ca. 350	$CaLi_2$,$CsNa_2$	$BaPt_2$,$NaAg_2$	$CaCd_2$	-	$TiMn_2$	-	-
$MgNi_2$	ca. 50	-	$MgNi_2$	-	-	$TaCo_2$	$TaZn_2$	-

Elementkombinationen und Beispiele für Laves-Phasen

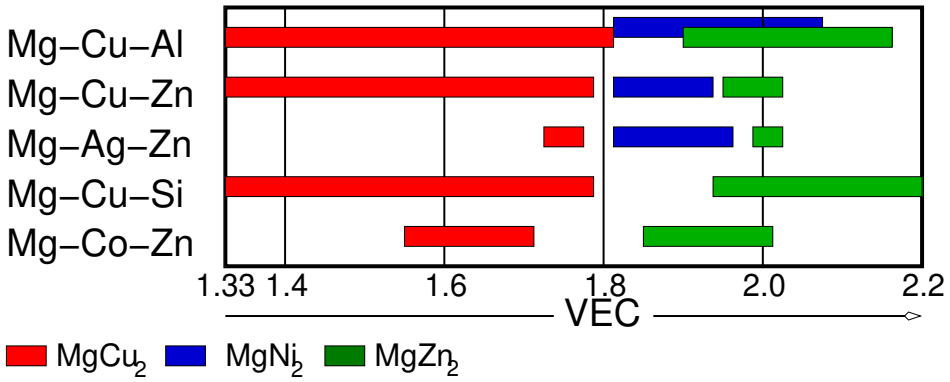

Valenzelektronenkonzentrationen ternärer Laves-Phasen